



## شبیه‌سازی عددی استخراج خورشیدی گرadiyan نمک با استفاده از تابع تخمین شدت تابش خورشیدی به همراه اثر سایه دیوارها

جواد امینی فروشانی<sup>۱</sup>، علی اکبر عباسیان آرانی<sup>۲\*</sup>، محمد گندمکار<sup>۲</sup>

۱. دانشکده مهندسی مکانیک، دانشگاه کاشان، کاشان، ایران  
۲ مجتمع دانشگاهی مکانیک، دانشگاه صنعتی مالک اشتر، اصفهان، ایران

### تاریخچه داوری:

دریافت: ۱۳۹۸/۰۸/۰۶

بازنگری: ۱۳۹۹/۰۳/۲۲

پذیرش: ۱۳۹۹/۰۵/۲۸

ارائه آنلاین: ۱۳۹۹/۰۶/۱۲

### كلمات کلیدی:

استخراج خورشیدی

شبیه‌سازی عددی

تخمین شدت تابش

سیستم ذخیره انرژی

انرژی خورشیدی.

**خلاصه:** در این تحقیق تابع تخمین تابش خورشیدی بر اساس جرم هوا و آمار روزهای آفتابی و ابری جهت استفاده در مدل سازی عددی استخراهای خورشیدی معرفی شده است. استخراهای خورشیدی یکی از روش‌های جذب تابش خورشیدی و ذخیره‌سازی آن به صورت حرارت با دوره‌های ذخیره طولانی مدت می‌باشند. این تحقیق با کد شبیه‌سازی یک‌بعدی، نسبت به تحلیل عملکرد حرارتی استخراهای خورشیدی گرadiyan نمک اقدام می‌نماید. در مدل سازی عددی با حذف فرضیات معمول، شرایط محیطی به صورت واقعی‌تر لحاظ شده‌اند. این شرایط دمای محیط متغیر بر حسب روز و ساعت، تابعیت خواص محلول آب و نمک از دما و غلظت، متغیر شدت تابش بر حسب زاویه فراز خورشید و تاثیر سایه دیوارها در استخراج بوده است. تحلیل گذرا انجام شده و شرایط روز و شب لحاظ شده‌اند. نوآوری روش مورد استفاده، مربوط به تخمین شدت تابش خورشیدی با استفاده از مفهوم جرم هوا و مقدار ابری بودن آسمان بوده است. رابطه‌ای نوین جهت محاسبه فاکتور پوشش ابر ارائه نموده، که از آمار روزهای ابری محل و قوع استخراج گردیده و شدت تابش با میزان اندازه‌گیری شده تجربی مقایسه شده است. شدت تابش بدست آمده در مدل سازی عددی استخراج خورشیدی مورد تحقیق با نتایج تجربی موجود تطابق خوبی دارد.

### ۱- مقدمه

انرژی خورشیدی به دلیل عدم تولید گازهای گلخانه‌ای، فراوانی و ارزانی، نسبت به دیگر انرژی‌ها متمایز می‌شود و جذابیت دارد. در بین روش‌های موجود در جذب و استفاده از انرژی خورشیدی، استخراهای خورشیدی مشخصات ویژه‌ای دارند مانند ترکیب بخش جذب کننده و ذخیره کننده انرژی گرمایی که باعث سادگی و کاهش هزینه‌های ساخت می‌شود [۱]. همچنین استخراهای خورشیدی می‌توانند به صورت یک سامانه ذخیره گرمایی<sup>۱</sup> با دوره عملکرد سالانه به کار روند. در این کاربرد می‌توان انرژی خورشیدی را به صورت انرژی گرمایی در تابستان ذخیره نمود و در زمستان جهت گرمایش استفاده کرد [۲]. سادگی در عملکرد و هزینه نگهداری پایین آنها باعث شده تا استخراهایی در ابعاد مختلف از چند مترمربع تا چند صد هزار متر مربع در نقاط مختلف دنیا ساخته شوند [۱].

در استخراهای خورشیدی جریان همrfتی حاصل از تفاوت دما در لایه‌ای از استخراج مهار و متوقف شده است. در استخراهای معمولی توده‌های سیال گرم تشکیل شده ناشی از تابش آفتاب به سطح صعود کرده و حرارت به محیط منتقل می‌شود. با توقف حرکت این جریان‌ها،

### 1-Heat storage system

\* نویسنده عهددار مکاتبات: abbasian@kashanu.ac.ir

سیال گرم در عمق استخراج باقی می‌ماند و انتقال حرارت به محیط عمده‌ای از طریق رسانش از بدن آب استخراج اتفاق می‌افتد که مقدار آن به دلیل پایین بودن ضریب انتقال حرارت آب کم است. استخراهای خورشیدی مختلفی بر اساس روش توقف جریان همrfت ساخته شده است که فرآگیرترین آن استخراهای خورشیدی گرadiyan نمک<sup>۲</sup> است که دارای سه لایه مختلف هستند (شکل ۱). لایه اول، لایه جابجایی سطحی<sup>۳</sup> است که غلظت نمک در آن یک دست و پایین و در حد شوری آب دریاست. لایه میانی یا لایه عدم همrfتی<sup>۴</sup> است که غلظت نمک با عمق افزایش یافته تا در پایین ترین عمق، به غلظت ۳۰۰ تا ۳۵۰ کیلوگرم در مترمکعب می‌رسد. لایه سوم لایه جابجایی زیرین<sup>۵</sup> است و نقش ذخیره کننده گرمایش را دارد. غلظت نمک در لایه جابجایی زیرین تقریباً یکسان است. وجود گرadiyan نمک در آب استخراج باعث بوجود آمدن گرadiyan چگالی می‌شود که با عمق افزایش می‌یابد. گرadiyan چگالی موجود امکان جریان همrfت سیال گرم را از بین برده و باعث ذخیره حرارت در لایه زیرین و تا حدودی در لایه میانی می‌شود [۳].

2 -Salt gradient solar ponds

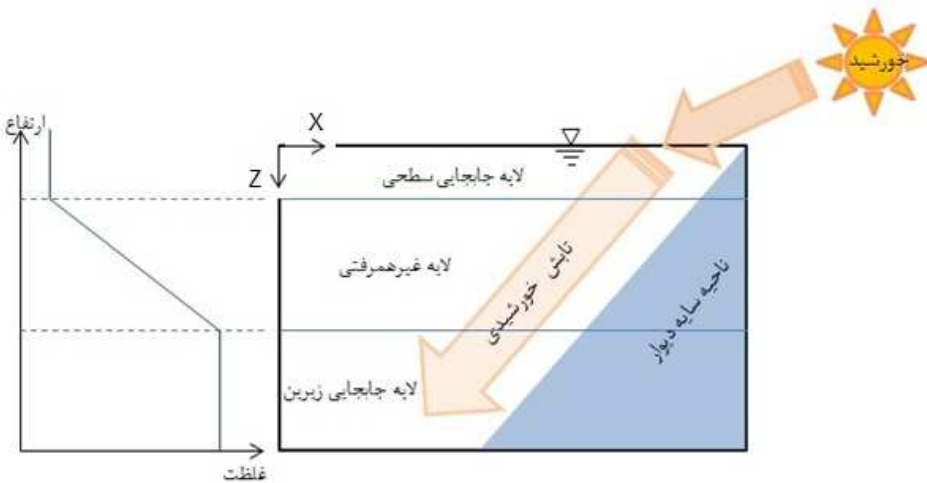
3 -Upper convective zone

4 - Non-convective zone

5 -Lowe convective zone

(Creative Commons License) حقوق مؤلفین به نویسندهان و حقوق ناشر به انتشارات دانشگاه امیرکبیر داده شده است. این مقاله تحت لیسانس آفرینندگی مردمی (Creative Commons License) در دسترس شما قرار گرفته است. برای جزئیات این لیسانس، از آدرس <https://www.creativecommons.org/licenses/by-nc/4.0/legalcode> دیدن فرمائید.





شکل ۱. نمای شماتیک از یک استخر خورشیدی گرادیان نمک و لایه بندی درون آن

Fig. 1. Schematic view of a salt pond solar pool and layering inside

استخر نسبت به استخرهای مربع و مستطیل با شرایط مشابه، عملکرد حرارتی بهتری دارند. همچنین در استخرهای مستطیل و مربع شکل در صورتی که امتداد استخر شمالی-جنوبی باشد عملکرد بهتری نسبت به دیگر جهات خواهد داشت [۱۷، ۱۸].

کاربردهای مختلفی از استخرهای خورشیدی گزارش شده است. برخی پژوهش‌ها بر روی کاربرد استخر خورشیدی در گرمایش محیط مطالعه کرده‌اند [۱۹]. از استخرهای خورشیدی جهت گرمایش ساختمان‌های اداری و دولتی ایالت بنگلور<sup>۱</sup> هندوستان استفاده می‌شود [۱]. همچنین مقالات مختلفی وجود دارد که بر روی استفاده از استخرهای خورشیدی در نمک زدایی از آب متمرکز شده‌اند [۴]. از استخرهای خورشیدی می‌توان در کلیه صنایعی که به آب گرم با درجه حرارت ۶۰ تا ۷۰ درجه سلسیوس نیاز باشد، استفاده کرد [۱]. از آب گرم شده در استخر خورشیدی گرادیان نمک جهت پاستوریزه کردن شیر در هندوستان استفاده می‌شد. همچنین از آنها برای تولید الکتریسیته نیز استفاده شده است. به عنوان مثال از یک استخر خورشیدی به وسعت ۲۵۰۰۰ مترمربع برای راهاندازی نیروگاه ۵ مگاواتی در فلسطین اشغالی استفاده شد [۱]. استخرهای خورشیدی به دلیل کاربردهای فراوان و امکان استفاده آنها در ابعاد صنعتی برای مهندسین جذاب هستند.

شبیه‌سازی عددی استخرهای خورشیدی با اهداف مختلفی صورت می‌گیرد. تحلیل رفتار حرارتی و عملکرد گرمایی استخر از اولین انگیزه‌های شبیه‌سازی عددی بوده است [۷]. با استفاده از ابزار عددی که در ابتدا با استفاده از نتایج تجربی صحستنسنجی<sup>۲</sup> شده، می‌توان برای بهینه‌سازی ابعاد و ضخامت لایه‌ها و کلیه متغیرهای دخیل در استخر استفاده نمود. همچنین برای تحلیل انرژی و اکسرزی لازم است تا مقدار تبادل حرارت بین لایه‌ها و اتفاق به محیط از

تأثیر عوامل متعددی در کارایی گرمایی استخر مشهود است، مانند دمای محیط، میزان تابش خورشیدی در محل استخر، عایق‌بندی دیوارها و کف، میزان درصد سایه دیوارها در استخر، ضخامت لایه‌ها و غیره. عموماً برای تحلیل تئوری یا عددی یک استخر خورشیدی برای عوامل تاثیرگذار از فرض‌های ساده کننده‌ای استفاده می‌شود مانند متوسط تابش ماهانه در محل و استفاده از متوسط دمای محیط و غیره. فرضیات بیشتر منجر به تقریب‌های بیشتر و درنهایت فاصله‌گرفتن تحلیل‌ها از واقعیات تجربی است. بنابراین در این تحقیق سعی شده تا حد امکان از تقریب‌های ساده کننده استفاده نشود یا مقدارشان به حداقل برسد.

استخرهای خورشیدی به صورت طبیعی وجود دارند. در اوخر قرن نوزدهم مشاهده شد که دمای آب در عمق ۱/۳ متری دریاچه‌ای واقع در استان ترانسیلوانیا کشور رومانی در اوخر تابستان به حدود بیش از ۷۰ درجه سانتی گراد می‌رسد که علت آن گرادیان غلظت نمک در آب است. با ساخت استخرهای خورشیدی به صورت مصنوعی تحولی در ساخت و راهاندازی آنها بوجود آمد و در دهه‌های شصت و هفتاد میلادی تحقیقات متعددی بر روی آنها انجام شد [۴-۱۰]. همچنین مدل‌سازی عددی استخر همراه با بررسی تاثیر ضخامت لایه‌ها و ابعاد استخر نیز بررسی شدند [۷، ۱۱، ۱۲]. استخرهای تحقیقاتی عموماً دارای ابعاد کوچکی هستند بنابراین تاثیر سایه ناشی از دیوارهای استخر بر عملکرد آنها اهمیت بیشتری دارد. در این راستا تحقیقات و مقالات زیادی با رویکرد بررسی تاثیر سایه‌ها در استخر انجام شده است [۱۳-۱۸]. همچنین تاثیر شکل استخر نیز بر روی عملکرد حرارتی آن بررسی شد و بویژه در مورد استخرهای با مقاطع مربع و مستطیل شکل، جهت‌گیری استخر نسبت به جهات جغرافیایی مورد تحقیق و بررسی تجربی و عددی قرار گرفت. نتیجه مشترک بررسی‌ها نشان داد استخرهای دایره شکل به دلیل سطح جانبی کمتر و پیرو آن اتفاق حرارتی پایین‌تر و همچنین سطح سایه کمتر بوجود آمده در

و ابعادی در تحلیل عددی، ضروری است که اطلاعات لازم از آزمون تجربی معلوم گردد. با بررسی‌های صورت‌گرفته نتایج تجربی مرجع [۱۸] به همراه ابعاد لایه‌بندی و شرایط محیطی شهر ارومیه مورد استفاده قرار می‌گیرد. در این تحقیق تجربی دو استخراج خورشیدی با مقاطع مربع و دایره با مساحت سطح ۴ متر مربع که هر دو دارای عمق ۱۱ متر هستند در یک بازه یک‌ساله مورد آزمایش قرار گرفتند. ضخامت لایه سطحی، میانی و زیرین به ترتیب ۰،۲ و ۰،۵ و ۰،۴ متر در نظر گرفته شدند. هر دو استخراج از ورق گالوانیزه ساخته شده و طبق اطلاعات موجود در مرجع [۱۸] با عایق پشم شیشه با ضخامت ۳ سانتی‌متر پوشانده شدند. عملکرد حرارتی استخراج در این مدت بررسی و افزایش تدریجی دما در لایه‌های زیرین و میانی استخراج گزارش شدند. همچنین مشخصات شهر ارومیه با عرض جغرافیایی ۳۷°۵۴'۹۸ شرقی و ارتفاع از سطح دریا برابر ۱۱۳۳ متر مورد استفاده قرار گرفته است. اطلاعات جامع‌تر در مورد آزمون تجربی در مرجع [۱۷] ارائه شده است.

### ۳- مدل‌سازی استخراج خورشیدی گرادیان نمک

اندازه‌گیری‌های تجربی نشان داده که گرادیان دمایی در راستای عمقد نسبت به گرادیان دمایی در راستای افقی غالب است [۱۵]، بنابراین می‌توان تغییرات دما در استخراج خورشیدی را فقط تابع عمقد استخراج در نظر گرفت. برای مدل‌سازی استخراج لازم است شرایط هر لایه به صورت مجزا بررسی شود. لایه سطحی به لحاظ حرارتی مستقیماً با محیط تبادل حرارت دارد و به شدت تحت تاثیر دمای محیط است. اندازه‌گیری‌ها نشان می‌دهد که دمای این لایه با دقت بسیار خوبی با دمای محیط برابر است [۲۰]. جریانات هم‌رفتی در لایه زیرین به دلیل یک‌دست‌بودن غلط نمک در آن اتفاق می‌افتد که توسط لایه میانی مهارشده در ناحیه لایه زیرین محدود می‌شوند. وجود جریان‌های هم‌رفتی در این لایه توزیع دما را تعدیل کرده و اختلاف دمای نقاط مختلف این لایه ناچیز است، بنابراین تحلیل انرژی بر روی کل این لایه به صورت یک واحد مجزا صورت می‌گیرد.

### ۳-۱- تحلیل انرژی لایه جابجایی زیرین

با فرض مشخصات سیال به صورت تابعی از دما و غلظت نمک و فرض دمای یکسان برای لایه جابجایی زیرین، معادله بقای انرژی پس از ساده‌سازی برای این لایه به صورت زیر بدست می‌آید [۱۵، ۱۷]:

$$Al_{LCZ} \frac{\partial(\rho c_p T_{LCZ})}{\partial t} = \dot{Q}_{rad} - \dot{Q}_{Side} - \dot{Q}_{Bottom} - \dot{Q}_{LCZtoNCZ} - \dot{Q}_{ext} \quad (1)$$

در این رابطه دیده می‌شود که میزان نرخ انباشت یا برداشت انرژی ذخیره‌شده در لایه زیرین به چه عواملی مرتبط است. انرژی

طريق دیوارها، کف و بدن آب ساکن معین باشد. بدست آوردن این مشخصات در آزمایش تجربی مشکل است بنابراین با استفاده از نتایج صحبت‌سنجدی شده شبیه‌سازی عددی نسبت به تحلیل انرژی و اکسرزی لایه‌های مختلف و کل استخراج خورشیدی اقدام می‌کنند [۲۰-۲۳]. در عمدۀ تحقیقات صورت‌گرفته در زمینه شبیه‌سازی عددی استخراج خورشیدی، از اطلاعات مراکز ثبت میزان تابش خورشیدی و متوسط ماهانه تابش دریافتی در محل استفاده می‌شود. همچنین متوسط دمای ماهانه ثبت شده در مراکز هواشناسی به عنوان دمای محیط فرض شده است [۱۳، ۱۸-۲۲]. در برخی از مقالات نیز توابع تخمین تابش در مورد مناطق مشخص جغرافیایی ارائه شده و بکار رفته است [۲۴-۲۸]. شماری از مقالات نیز با احتساب درصد ابری‌بودن آسمان، تاثیرات آن را بر میزان تابش دریافتی در سطح زمین بررسی کرده‌اند [۲۹-۳۷]. از آنجا که اکثر ایستگاه‌های هواشناسی قادر تجهیزات تابش سنج هستند؛ میزان تابش متوسط ماهانه برای کاربرد در کد شبیه‌سازی ممکن است موجود نباشد، از این رو وجود یک تابع تخمین تابش که علاوه بر سادگی، دقت مناسبی را جهت استفاده در شبیه‌سازی عددی استخراج‌های خورشیدی داشته باشد ضروری به نظر می‌رسد.

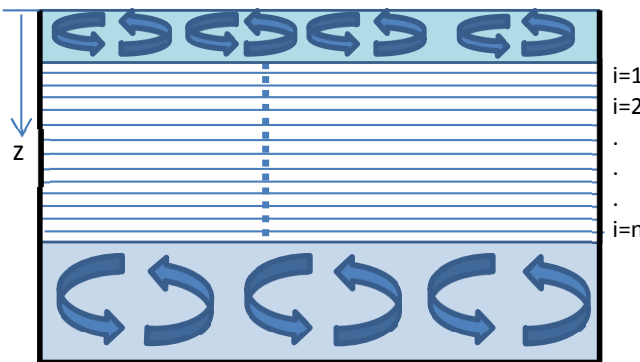
در این مطالعه با استفاده از کد توسعه‌یافته به زبان فورترن<sup>۱</sup>، استخراج خورشیدی گرادیان نمک به صورت یک بعدی شبیه‌سازی شده است. در این راستا خواص سیال به صورت تابعی از دما و غلظت نمک در نظر گرفته می‌شود. با استفاده از روابط موجود در مورد ساعت طلوع و طول مدت روز، شبیه‌سازی به صورت حل گذرا انجام و ساعات روز و شب نیز در شبیه‌سازی اعمال می‌شود. تاثیر سایه دیوارها برای دو استخراج دایره و مربع شکل در نظر گرفته شده و همچنین دمای محیط و شدت تابش نیز با استفاده از توابع ریاضیاتی در کد اعمال می‌شوند. هدف این مقاله ارائه تابع تخمین تابش مناسب و قابل استفاده در مناطقی است که تابش سنج و داده‌های آماری شدت (تابش در اختیار نیست. با استفاده از مفهوم جرم هوا)، تاثیرات جو در تابش دریافتی استخراج تخمین زده شده و همزمان با ترکیب این موضوع با میزان پوشیدگی ابر، نسبت به کاربردی نمودن تابع برای استفاده در شبیه‌سازی استخراج اقدام می‌شود. در نهایت با مقایسه نتایج عددی بدست‌آمده با نتایج تجربی موجود در مراجع نسبت به صحبت‌سنجدی تحلیل عددی اقدام می‌شود.

### ۳- آزمون تجربی مورد استفاده برای راستی آزمایی حل عددی

برای آزمودن صحبت نتایج عددی نیاز است که نتایج در شرایط یکسان با آزمایش تجربی مقایسه شود. برای کاربرد شرایط محیطی

1 -Fortran

2 -Air mass



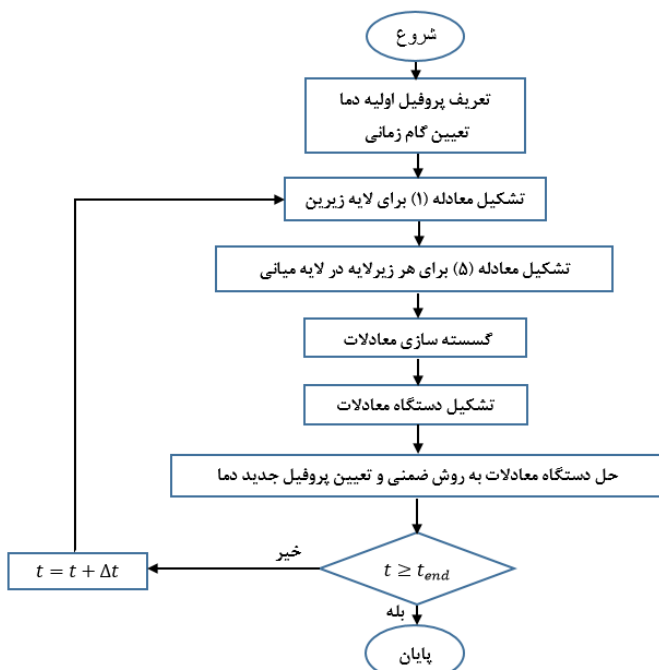
شکل ۲. لایه‌های جابجایی سطحی و زیرین به همراه تقسیم‌بندی لایه غیرهمرفتی میانی

Fig. 2. Surface and bottom convection layers with intermediate non-convective layer segmentation

طریق هدایت از بدن آب این لایه انجام می‌شود، بنابراین گرادیان دما در جهت عمق در این لایه وجود دارد. برای معین و دیده‌شدن گرادیان دما ضخامت این لایه در جهت عمق به تعداد محدودی زیرلایه تقسیم‌بندی شده و معادله بقاع انرژی برای هر زیرلایه بدست می‌آید. شکل ۲ نمای شماتیک استخر و تقسیم‌بندی لایه‌ها برای تحلیل عددی را نشان می‌دهد. معادله بقاع انرژی در حالت گذرا برای هر زیرلایه در صورتی که مشخصات سیال متغیر وتابع دما و غلظت باشد به فرم دیفرانسیلی زیر است [۱۵، ۱۷]:

$$\frac{\partial(\rho c_p T)}{\partial t} = \frac{\partial}{\partial z} \left( k \frac{\partial T}{\partial z} \right) - \frac{dI}{dz} \quad (5)$$

متغیر  $z$  مختصات در راستای عمق است و مبدأ آن در سطح آب



شکل ۳. فلوچارت مراحل تحلیل عددی

Fig. 3. Flowchart of numerical analysis steps

به واسطه تابش به لایه زیرین می‌رسد ( $\dot{Q}_{rad}$ ) و به چهار صورت کلی اتلاف و یا برداشت می‌شود. مقداری توسط دیوارهای استخر تلف می‌شود ( $\dot{Q}_{Side}$ ). همچنین حرارت از کف استخر نیز به محیط منتقل می‌گردد ( $\dot{Q}_{Bottom}$ ). استخرهای کوچک معمولاً به صورت مخزن مستقر بر روی سطح زمین ساخته می‌شوند، دارای پایه هستند و دیوارها و کف آنها عایق پوش می‌شوند بنابراین فرض می‌شود که هوای محیط تمام جوانب استخر را احاطه کرده باشد. اتلاف از طریق رسانش در عرض عایق حرارتی به هوای با دمای محیط منتقل می‌شود. به دلیل اینکه استخر از جمیع جهات با هوای محیط احاطه شده و حتی در بخش کف نیز تنها با لایه عایق پوشیده شده بنابراین محاسبه اتلاف از دیوارها و کف با استفاده از قانون فوریه<sup>۱</sup> محاسبه می‌شوند. اتلاف از طریق رسانش از حجم آب موجود در لایه میانی نیز می‌تواند صورت گیرد ( $\dot{Q}_{LCZtoNCZ}$ ) و در نهایت می‌توان به طور مستقیم با استفاده از یک مبدل حرارتی داخل استخر یا در خارج آن حرارت را از استخر برداشت نمود ( $\dot{Q}_{ext}$ ). انتقال حرارت از دیوارها و کف به محیط و از لایه زیرین به لایه میانی و برداشت حرارت از لایه مذکور، همگی باعث کاهش انرژی ذخیره شده در لایه زیرین می‌شوند. مقدار انتقال حرارت به دیوارها و کف با استفاده از قانون فوریه برای انتقال حرارت هدایت و فرض شبه-پایابودن وضعیت استخر محاسبه می‌شوند. روابط انتقال حرارت از دیوارها و کف به صورت زیر است.

$$\dot{Q}_{Side} = -k_{insul.} A_{LCZ-walls} \frac{\partial T}{\partial x} \Big|_{side walls} \quad (2)$$

$$\dot{Q}_{Bottom} = -k_{insul.} A \frac{\partial T}{\partial x} \Big|_{bottom} \quad (3)$$

همچنین با محاسبه گرادیان دما در مرز بین لایه زیرین و میانی و ضریب هدایت حرارتی آب، مقدار انتقال حرارت به لایه میانی محاسبه می‌شود.

$$\dot{Q}_{LCZtoNCZ} = -kA \frac{\partial T}{\partial x} \Big|_{LCZ-NCZ \text{ boundary}} \quad (4)$$

در مطالعه حاضر، برداشت حرارت از استخر صفر در نظر گرفته شده است. این عمل جهت تشابه با آزمون تجربی صورت گرفته است. مقدار تابش خورشیدی و نحوه محاسبه آن در بخش‌های بعدی ارائه شده است.

### ۳-۲- تحلیل انرژی لایه غیر همروفتی میانی

در لایه غیر همروفتی میانی، بواسطه وجود گرادیان چگالی، سیال عملاً ساکن است. انتقال حرارت از لایه زیرین به لایه سطحی از

1 -Fourier's law

مقدار و شدت ابری بودن آسمان در روزهای سال از عوامل تاثیرگذار بر کارائی استخراج هستند. همچنین تغییرات دمای محیط بر اساس ساعات شبانه روز و تغییرات فصلی نیز در اتفاقات حرارتی استخراج موثر هستند. دیگر عوامل مانند شدت وزش باد و یا مقدار نزولات جوی در محل استخراج هر چند بر کارکرد استخراج بی تاثیر نیستند ولی اثرات آنها ناچیز در نظر گرفته شده و در محاسبات وارد نشده‌اند.

#### ۴-۱- تابش رسیده به سطح استخراج

شدت تابش خورشید در خارج از جو زمین و به دلیل فاصله تقریباً ثابت بین خورشید و زمین مقداری ثابت دارد که به آن ثابت خورشیدی<sup>۱</sup> گفته می‌شود. ثابت خورشیدی عبارت است از شدت تابش بر سطح عمود بر تابش در فاصله یک واحد نجومی از خورشید [۳۰]. مقدار ثابت خورشیدی در این مقاله برابر ۱۳۵۳ وات بر متر مربع در نظر گرفته شده است [۴۰-۳۸].

جو زمین با جذب برخی طول موج‌ها از شدت تابش می‌کاهد و با افزایش زاویه فراز<sup>۲</sup> خورشید مقدار مسافتی که باید نور از درون جو طی کند تا به سطح زمین برسد افزایش می‌پابد. بر اساس مفهوم جرم‌ها، در صورتی که خورشید به صورت کاملاً عمود بر زمین بتابد، تابش آن از یک واحد جرم‌ها عبور کرده است. بر اساس آنچه در شکل ۴ نشان داده شده است با افزایش زاویه فراز خورشید شدت تابش به دلیل گذشتن از مقدار جرم‌های بیشتر، ضعیف‌تر می‌شود. روابط مختلفی برای تخمین جرم‌ها به ازای زوایای مختلف و فرض جو تخت و یا جو منحنی ارائه شده‌اند [۴۱-۴۳]. همچنین جداولی نیز به صورت اپتیکال<sup>۳</sup> برای جرم‌ها ارائه شده است [۲۷]. بر اساس اطلاعات این جداول و عبور منحنی مناسب از آنها، روابط تخمین جرم‌ها ارائه شده‌اند، که یکی از دقیق‌ترین آنها به صورت زیر است [۲۸]. تطابق نتایج این رابطه با داده‌های اپتیکال موجود در جداول در شکل ۵ نشان داده شده است.

$$M(z_i) = \frac{1.002432 \cos^2 z_i + 0.148386 \cos z_i + 0.0096467}{\cos^3 z_i + 0.149864 \cos^2 z_i + 0.0102963 \cos z_i + 0.000303978} \quad (6)$$

با تعیین مقدار جرم‌ها می‌توان شدت تابش در سطح را با استفاده از رابطه زیر بدست آورد [۴۴]:

$$I_{cs} = 1.1 \times I_0 \times \left( \left( 1 - \frac{\text{elevation}}{7.1} \right) \times 0.7^{M(z_i)^{0.678}} + \frac{\text{elevation}}{7.1} \right) \quad (7)$$

این رابطه شدت تابش عمود بر سطح در محل را بر اساس ارتفاع مشخص می‌کند. به دلیل اینکه تاثیرات ابری بودن آسمان در رابطه محاسبه شدت تابش لحاظ نشده است، بنابراین مقدار بدست‌آمده

1 - Solar constant

2 - Zenith angle

3 - Optical

در نظر گرفته شده و چون تابش با نفوذ در عمق ضعیف‌تر می‌شود، گرادیان تابش نسبت به عمق منفی خواهد بود. بنابراین عبارت آخر در معادله مقداری مثبت دارد و به صورت چشمی عمل نموده و نشان‌دهنده جذب انرژی تابشی در لایه مورد بررسی است.

جهت حل معادلات در ابتدا لازم است هم برای لایه جابجایی زیرین و هم برای هر یک از لایه‌های درنظر گرفته شده در لایه میانی نشان داده شده در شکل ۲ معادلات تشکیل شوند. این دسته از معادلات یک‌بعدی و گذرا هستند که با گسترش‌سازی آنها دستگاه معادلات تشکیل می‌شود. به ازای هر گام زمانی و حل همزمان دستگاه معادلات به صورت ضمنی، توزیع دما بر اساس عمق برای آن گام زمانی حاصل می‌شود. ضمنی بودن تحلیل معادلات باعث می‌شود که حل بدون شرط پایدار باشد و با تکرار مراحل برای گام‌های زمانی پیش‌روندۀ، رشد تدریجی توزیع دما با زمان حاصل می‌شود. فرآیند حل در الگوی نشان‌داده شده در شکل ۳ آورده شده است.

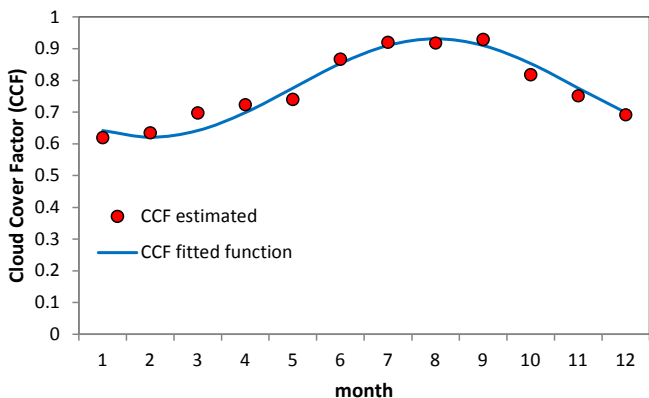
شرایط مرزی شامل دیوارها و کف و همچنین لایه سطحی هستند که به لحاظ حرارتی باید معین باشند. بیان شد که اتفاقات حرارتی از دیوارها و کف بر اساس قانون فوريه صورت می‌گيرد. بنابراین باید شرط مرزی به دمای محیط در اطراف استخراج نسبت داده شود. شرایط دمایی لایه سطحی متاثر از دمای محیط است. شرط تساوی دمای لایه سطحی با دمای محیط بواسطه وجود اختلاط در این لایه و تماس مستقیم آن با هوای محیط فرض منطقی به نظر می‌رسد بنابراین مجددًا دمای محیط به عنوان شرط مرزی باید مورد استفاده قرار گیرد.

همچنین محاسبه مقدار  $\frac{dI}{dz}$  مستلزم استخراج رابطه مناسب برای محاسبه مقدار شدت تابش در درون استخراج است که آن نیز تابعی از شدت تابش رسیده به سطح استخراج است و در بخش‌های بعدی به آن پرداخته می‌شود.

شرایط دمایی اولیه برای تحلیل عددی استخراج مشابه با شرایط در آزمون تجربی در نظر گرفته شده است. در آزمون‌های تجربی لایه‌بندی استخراج با آبی که در شرایط دمای محیط است انجام می‌شود. شرایط دمایی اولیه متفاوت از دمای محیط، سختی‌ها و هزینه‌های مربوط به خود را دارد و عموماً لزومی به انجام آن نیست. بنابراین بر اساس زمان راهاندازی استخراج که در گزارش‌های تجربی بیان شده است دمای محیط مشابه با آنچه در ادامه خواهد آمد محاسبه شده و دمای لایه‌های مختلف استخراج برابر با دمای محیط قرار می‌گیرند.

#### ۴- مدل‌سازی عوامل محیطی

عوامل محیطی تاثیر مستقیمی بر عملکرد حرارتی استخراج خورشیدی دارند. مقدار تابش رسیده به سطح استخراج و چگونگی جذب آن در عبور از آب، تاثیر جو در جذب تابش خورشیدی و



شکل ۶. مقادیر CCF بدست آمده برای شهر ارومیه و مقادیر تابع تخمین نسبت به ماه‌های مختلف میلادی CCF

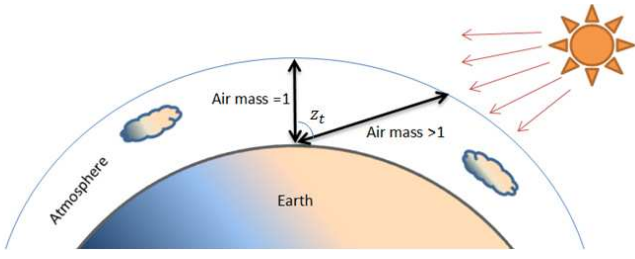
**Fig. 6. CCF values obtained for Urmia city and values of CCF estimation function for different months of the year**  
به روزهای آفتابی برای شرق کانادا بین ۰،۳۵ تا ۰،۱۷ گزارش شده است [۳۱]. معادله برلندر<sup>۲</sup> مقدار ۰،۲۷ تا ۰،۲۲ را برای عرض‌های جغرافیایی از استوا تا مدار صحت درجه پیش‌بینی می‌کند [۴۵]. مقادیر مشابهی برای شدت تابش در روزهای کاملاً ابری در مراجع آورده شده‌اند [۴۶-۴۸]. اطلاعات مربوط به داده‌برداری خورشیدی در ایالات متحده مقدار شدت تابش در روزهای کاملاً ابری را بین ۰،۳۰ تا ۰،۴۸ گزارش کرده است [۴۹].

با توجه به اطلاعات فوق چنین بر می‌آید که در نظر گرفتن مقدار ۰،۳۰ برای فاکتور پوشش ابر در روزهای ابری مناسب باشد. شدت تابش روزهای نیمه‌ابری برابر میانگین شدت تابش بین روزهای آفتابی و روزهای کاملاً ابری فرض می‌شود. بنابراین مقدار متوسط ماهانه فاکتور پوشش ابر می‌تواند از رابطه زیر تخمین زده شود:

$$CCF = \left( n_{cs} \times 1 + n_{pc} \times \left( \frac{1+0.3}{2} \right) + n_{oc} \times 0.3 \right) / n_{month} \quad (9)$$

به عنوان مثال برای شهر ارومیه در آذربایجان غربی، بر اساس اطلاعات هواشناسی گرفته شده از سازمان هواشناسی کشور، تعداد روزهای صاف ابری و نیمه ابری به شرح جدول ۱ است. با فرضیات بکاررفته مقادیر CCF در ماه‌های مختلف برای شهر ارومیه به صورت نمودار شکل ۶ است. به دلیل ماهیت نوسانی نتایج حاصل با دوره تنابوب سالانه می‌توان مقدار CCF را بر اساس یک تابع نوسانی سینوسی یا کسینوسی تخمین زد. تابع سینوسی بکاررفته در شکل ۶ با استفاده از روش حداقل مربعات بدست آمده و مقدار فاکتور ابری بودن را با دقت مناسبی پیش‌بینی می‌کند. مقدار بیشینه خطای نسبی کمتر از ۸ درصد برای ماه مارس است. تابع بدست آمده به صورت زیر است.

$$CCF_{est} = 0.776 + 0.155 \sin\left(\frac{2\pi}{12}(7+m_{no})\right) \quad (10)$$



شکل ۴. شکل شماتیک جو زمین و مسافت طی شده توسط تابش خورشید در درون جو

**Fig. 4. Schematic diagram of the Earth's atmosphere and the distance traveled by the sun's rays inside the atmosphere**

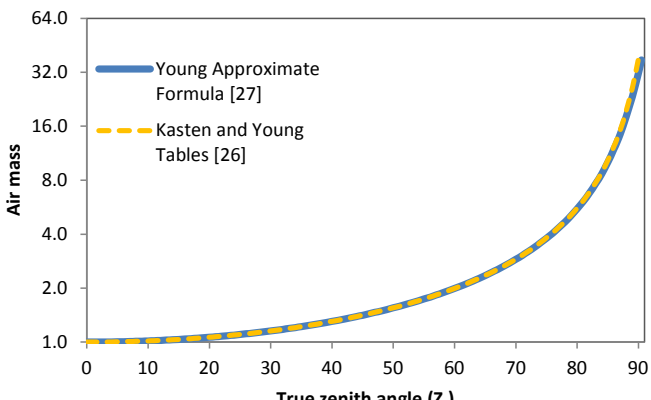
مریبوط به روزهای آفتابی است.

#### ۴-۲- تاثیر پوشش ابر بر میزان دریافت تابش استخراج

برای بررسی تاثیر ابرها بر شدت تابش پیشنهادات مختلفی مطرح شده است [۱۹، ۳۷-۲۹]. استفاده از فاکتور پوشش ابر<sup>۱</sup> یکی از معمول‌ترین راه حل‌ها در این زمینه است. بر این اساس مقدار تابش با استفاده از رابطه زیر محاسبه می‌شود [۳۱]:

$$I_{normal} = I_{cs} \times CCF \quad (8)$$

مسئله اصلی در رابطه تعیین صحیح مقدار فاکتور پوشش ابر است. هرچند پیش‌بینی دقیق زمان ابری شدن آسمان و طول مدت و شدت آن ممکن نیست، ولی بدست آوردن آمار روزهای ابری و تاریخچه آن در یک محل مشخص، نیاز به تجهیزات اندازه‌گیری خاصی ندارد، بنابراین با داشتن متوسط ماهانه تعداد روزهای ابری می‌توان نسبت به محاسبه تاثیر آن اقدام نمود، زیرا که مقدار متوسط تابش اهمیت دارد. مقدار تابش در روزهای آفتابی برابر مقدار بدست آمده از رابطه است. برای محاسبه مقدار شدت تابش در روزهای ابری گزارشات مختلفی وجود دارد. به عنوان مثال نسبت شدت تابش در روزهای کاملاً ابری



شکل ۵. نتایج جرم‌هوا حاصل از رابطه (۶) و نتایج جداول بدست آمده به طریق اپتیکال

**Fig. 5. Air mass results from Equation (6) and results of tables obtained optically**

### جدول ۱. میانگین ماهانه روزهای ابری، نیمه‌ابری و آفتابی برای شهر ارومیه [۵۰]

Table 1. Monthly average of cloudy, partly cloudy and sunny days for Urmia city [50]

ماه‌های میلادی	روزهای کاملاً ابری <sup>*</sup>	روزهای نیمه‌ابری <sup>**</sup>	روزهای آفتابی <sup>***</sup>
ژانویه	۱۰۶	۱۲۵	۷/۹
فوریه	۸	۱۳۴	۶/۸
مارس	۵/۷	۱۵/۴	۹/۹
آوریل	۳/۵	۱۶/۷	۹/۸
مای	۳	۱۷	۱۱
ژوئن	۰/۴	۱۰/۶	۱۹
ژوئی	۰/۱	۶/۹	۲۴
آگوست	۰/۳	۶/۷	۲۴
سپتامبر	۰/۴	۵/۳	۲۴/۴
اکتبر	۳/۱	۹/۹	۱۸
نوامبر	۵/۳	۱۰/۸	۱۴
دسامبر	۷/۵	۱۲/۴	۱۱/۲

\* روزهای کاملاً ابری: مقدار ابر در آسمان بین ۱۰۰ تا ۱۰۰ درصد

\*\* روزهای نیمه ابری: مقدار ابر در آسمان بین ۲۰ تا ۸۰ درصد

\*\*\* روزهای آفتابی: مقدار ابر در آسمان از صفر تا ۲۰ درصد

شده‌اند. حداکثر اختلاف بین مقدار تخمین‌زده شده و اندازه‌گیری شده در ماه فوریه اتفاق افتاده و برابر ۳۹/۹ وات بر متر مربع است. حداکثر خطای بین نتایج حاصل از تخمین فوق و اندازه‌گیری‌های تجربی مربوط به فصل‌های سرد است که شدت تابش در آنها کاهش می‌یابد. مقدار مطلق اختلاف در نتایج ممکن است برای ماههای مختلف از یک مرتبه باشد ولی خطای نسبی آنها یکسان نخواهد بود به عنوان مثال دو ماه گرم ژوئی و سرد ژانویه در جدول ۲ نشان می‌دهد که مقدار مطلق اختلاف نتایج تجربی و مقدار تخمین‌زده شده تقریباً یکسان است در حالی که مقدار خطای نسبی برای ژانویه بیش از سه برابر ژوئی است.

علت افزایش خطا در ماههای سرد در تعریف خطای نسبی قرار

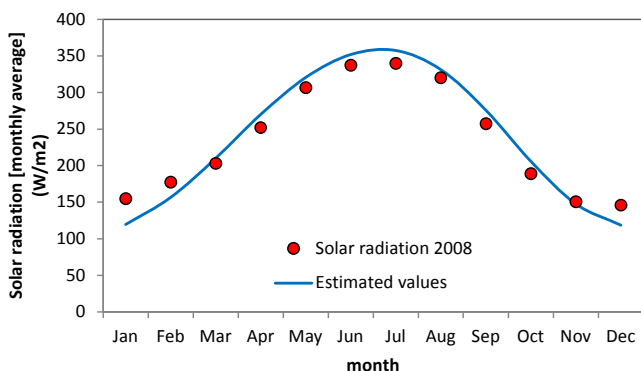
در مرحله بعد مقدار تابش رسیده بر سطح افقی استخر محاسبه می‌شود. برای محاسبه مقدار شدت تابش رسیده به سطح افقی استخر از رابطه زیر استفاده می‌شود [۵۱].

$$I_{surf} = I_{normal} \times \cos z_t \quad (11)$$

مقادیر متوسط تابش ماهانه شهر ارومیه در مرجع [۲۲، ۱۸] گزارش شده است. شهر ارومیه در عرض جغرافیانی ۳۷°۵۴' درجه شمالی واقع شده و ارتفاع آن از سطح دریا ۱۱۳۳ متر است. مقدار متوسط ماهانه تابش بر اساس روش پیشنهاد شده در این تحقیق محاسبه و در جدول ۲ نشان داده شده و با مقادیر متوسط اندازه‌گیری شده مقایسه شده است. همچنین اطلاعات به صورت نمودار در شکل ۷ نمایش داده

جدول ۲: متوسط تابش ماهانه ثبت شده برای شهر ارومیه در سال ۲۰۱۶ و مقدار تابش تخمین‌زده شده توسطتابع  
Table 2: Average monthly radiation recorded for the city of Urmia city in 2016 and the amount of radiation estimated by the function

ماه‌های میلادی	متوجه تابش ماهانه ثبت شده <sup>(W/m<sup>2</sup>)</sup>	تخمین متوسط تابش ماهانه <sup>(W/m<sup>2</sup>)</sup>	درصد خطا
ژانویه	۱۰۵	۷۵/۲	-۲۸/۳۸
فوریه	۱۴۴	۱۰۵/۲	-۲۶/۹۴
مارس	۱۸۹	۱۵۵/۶	-۱۷/۶۷
آوریل	۲۲۳	۲۱۳/۴	-۴/۳۰
مای	۲۶۷	۲۸۴/۸	+۶/۶۷
ژوئن	۳۱۸	۳۲۹/۹	+۳/۷۴
ژوئی	۳۱۳	۳۳۹/۹	+۸/۵۹
آگوست	۲۸۴	۳۰۷/۳	+۸/۲۰
سپتامبر	۲۳۴	۲۴۰/۲	+۲/۶۵
اکتبر	۱۳۱	۱۶۲/۸	+۲۴/۲۷
نوامبر	۱۰۹	۱۳۰/۷	+۱۹/۹۱
دسامبر	۸۸	۷۵/۶	-۱۴/۰۹



شکل ۸. مقادیر تخمینی تابش متوسط ماهانه بدست آمده برای شهر بافق و مقادیر متوسط تابش ثبت شده در سال ۲۰۰۸

Fig. 8. Estimated values of average monthly radiation obtained for Bafgh city and average values of radiation recorded in 2008

$$\tau = \sum_{i=1}^4 A_i e^{\left(\frac{-C_i z}{\cos(z_r)}\right)} \quad (12)$$

در این رابطه  $\hat{0}$  مقدار درصد تابش رسیده به عمق  $z$  است. ضرایب بکاررفته در این تابع در جدول ۳ داده شده است [۲]. آب در برابر طول موج های بلندتر عملاً به صورت یک ماده تیره<sup>۳</sup> عمل می کند.

#### ۴-۴- محاسبه شدت تابش در استخرا

نور خورشید پس از رسیدن به سطح آب به دو جزء تقسیم می شود. یک دسته پرتوها از سطح آب منعکس شده و دسته دیگر به لایه های آب نفوذ می کند. مقدار درصد نور منعکس شده تابعی از زاویه برخورد نور به سطح آب است و با استفاده از رابطه زیر محاسبه می شود [۸].

$$R_r = \frac{1}{2} \left[ \frac{\sin^2(\theta_i - \theta_r)}{\sin^2(\theta_i + \theta_r)} + \frac{\tan^2(\theta_i - \theta_r)}{\tan^2(\theta_i + \theta_r)} \right] \quad (13)$$

در این رابطه  $\theta_i$  زاویه برخورد<sup>۴</sup> به سطح آب و  $\theta_r$  زاویه انعکاس<sup>۵</sup> هستند. زاویه انعکاس تابع نوع ماده و زاویه برخورد نور است و از رابطه زیر محاسبه می شود [۵۲].

$$\sin \theta_r = \frac{\sin \theta_i}{n_r} \quad (14)$$

بر اساس این روابط شدت تابش درست در زیر سطح برابر است با:

$$I_{in} = I_{surf} (1 - R_r) \quad (15)$$

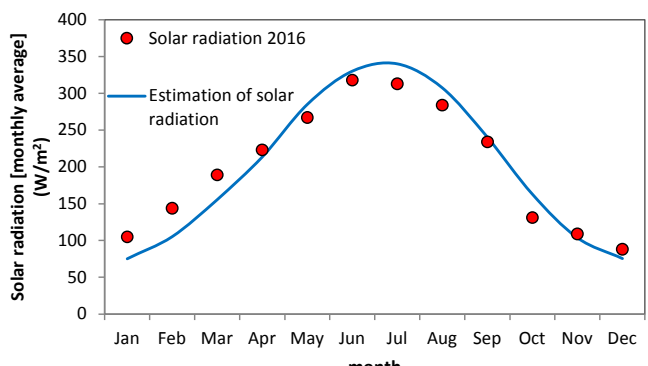
عمولاً<sup>۶</sup> به دلیل انحلال نمک و عدم شفافیت کامل آب به دلایل

دارد. کاهش مقدار تابش متوسط در ماه های سرد با وجود اختلاف یکسان بین نتایج تجربی و تخمینی موجب می شود که درصد خطای نتایج افزایش یابد. روش دیگر بیان میزان خطأ و اختلاف بین دو نمودار، استفاده از نرم اقلیدسی است. مقدار خطای کلی با استفاده از نرم اقلیدسی<sup>۱</sup> برابر ۸۱ وات بر متر مربع بدست می آید.

به عنوان نمونه ای دیگر، استخراهای خورشیدی مشابهی در استان یزد، شهر بافق ساخته و راه اندازی شد [۲۰، ۲۴] و میزان شدت تابش خورشیدی در گزارش های مربوط آورده شده است. با استفاده از روش پیشنهاد شده و استفاده از آمار روزهای ابری و نیمه ابری شهرستان بافق نسبت به استخراج فاکتور پوشش ابر اقدام می شود. در نهایت شدت تابش تخمین زده شده و متوسط ماهانه دریافت تابش گزارش شده در مراجع در شکل ۸ آورده شده است. این نتایج نشان می دهد که تطابق نسبتاً خوبی بین نمودارها وجود داشته و مقدار حداکثر خطأ برابر  $\frac{۳۵}{۲} = ۱۷.۵$  وات بر متر مربع در ماه ژانویه بوده و نرم خطای اقلیدسی دو نمودار برابر  $\frac{۶۵}{۴} = ۱۶.۲5$  وات بر متر مربع است.

#### ۴-۳- میزان جذب تابش خورشیدی در بدنه آب استخرا

آب به صورت یک ماده نیمه شفاف<sup>۲</sup> در برابر تابش خورشید عمل می کند. طول موج های بلند نور خورشید عمدها در چند سانتی متر اول ورود به آب جذب می شوند و طول موج های کوتاه به عمق نفوذ می کنند. توابع مختلفی برای تخمین درصد شدت تابش به صورت تابعی از عمق مطرح شده اند [۲، ۴۱]. توابع ارائه شده عموماً دارای دقت لازم برای استفاده در مباحث ابری خورشیدی هستند. یکی از آنها تابع چهار ضابطه ای زیر است که جذب تابش را بر اساس طول موج های مختلف تخمین می زند [۲].



شکل ۷. مقادیر تخمینی تابش متوسط ماهانه بدست آمده برای شهر ارومیه و مقادیر متوسط تابش ثبت شده در سال ۲۰۱۶

Fig. 7. Estimated values of average monthly radiation obtained for the city of Urmia and average values of radiation recorded in 2016

1 - Euclidian norm

2 - Semi-opaque

3 - Opaque medium

4 - Incident angle

5 - Refraction angle

برای آن محاسبه می‌شود.  
همچنین رابطه محاسبه مساحت سایه برای استخرهای مکعبی نیز بدست آمده است [۱۵، ۱۷، ۱۸].

$$A_{shadow} = Ll \sin \alpha + Wl \cos \alpha - l^2 \sin \alpha \cos \alpha \quad (20)$$

در این رابطه  $l$  از رابطه زیر بدست می‌آید:

$$l = z \tan \theta_r \quad (21)$$

مقدار  $z$  عمقی از استخر است که نسبت مساحت سایه به آفتاب برای آن محاسبه می‌شود. در شکل ۹ نمای شماتیک استخرهای استوانه‌ای و مکعبی و نحوه تشکیل سایه در آنها نشان داده شده است. با معلوم بودن درصد مساحت سایه در هر مقطع عمقی در استخر، مقدار شدت متوجه تابش گذرنده از مقطع مذکور می‌تواند از رابطه زیر بدست آید [۱۵]:

$$I = \frac{A_{sunny} + A_{shadow}}{A} I_{sunny} \quad (22)$$

مناطق سایه در استخر چنانچه تجربه نشان می‌دهد کاملاً تاریک نیستند و پخش نور موجب می‌شود تا درصدی از تابش رسیده به مناطق آفتابی به مناطق سایه نیز برسد. بر اساس تحقیقات صورت گرفته مقدار ۳۰ درصد برای  $\alpha$  مناسب و متعادل است [۱۵، ۱۷، ۱۸، ۵۱]. مقدار بدست آمده از رابطه فوق در رابطه به کار می‌رود و نرخ تغییرات آن با عمق مقدار جذب تابش در لایه‌های آب را نشان می‌دهد.

**۴-۶- مدل‌سازی روز و شب و تاثیر آن بر استخر**  
با به پایان رسیدن روز موضوع تابش خورشیدی و جذب آن در استخر پایان می‌یابد ولی اتفاقات حرارتی از استخر به همان روش‌ها

متعدد و همچنین انعکاس نور از دیوارها و کف استخر و همچنین پراکندگی<sup>۱</sup> نور در آب، برای شدت تابش در استخر کاهشی در نظر گرفته می‌شود که آن را با  $\theta$  نشان می‌دهند مقدار آن به طور معمول ۰،۸۵-۰،۸۰ لحظه می‌شود [۸]. با لحاظ نمودن مقدار جذب تابش در محیط سیال، نهایتاً مقدار شدت تابش در نواحی آفتابی داخل استخر به صورت زیر محاسبه می‌شود.

$$I_{sunny} = I_{surf} (1 - R_r) \tau \theta \quad (16)$$

#### ۴-۵- تاثیر سایه‌ها بر عملکرد حرارتی استخر

در صورتی که ابعاد استخر نسبتاً کوچک باشد مقدار سایه‌ها نسبت به مساحت تحت تابش مستقیم آفتاب در استخر درصدی را به خود اختصاص می‌دهد که تاثیر آن در عملکرد حرارتی استخر قابل چشم‌پوشی نیست و باید تاثیر آن در مدل عددی لحظه شود. فعالیت‌های گوناگون و تا حدی مشابه در این زمینه صورت گرفته است، نگاه کنید به [۱۳-۱۸]. به طور خلاصه مساحت سایه در استخرهای استوانه‌ای از روابط زیر محاسبه می‌شود [۱۵، ۱۷، ۱۸]:

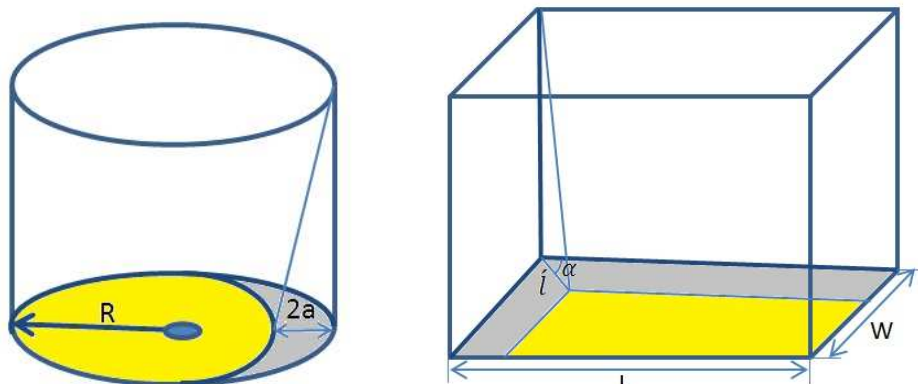
$$S_{shadow} = \pi R^2 - S_{sunny} \quad (17)$$

$$S_{sunny} = 2 \left( R^2 \tan^{-1} \left( \frac{\sqrt{R^2 - a^2}}{a} \right) - a \sqrt{R^2 - a^2} \right) \quad (18)$$

در این رابطه  $a$  نصف حداکثر طول سایه در استخر استوانه شکل است. مقدار آن از رابطه زیر بدست می‌آید.

$$a = \frac{z}{2} \tan \theta_r \quad (19)$$

مقدار  $z$  عمقی از استخر است که نسبت مساحت سایه به آفتاب



شکل ۹. شکل شماتیک یک استخر استوانه‌ای و یک استخر مکعبی و نحوه تشکیل سایه در هر یک [۱۷]

Fig. 9. Schematic of a cylindrical pool and a cubic pool and how to form a shadow in each [17]

همچنین طول مدت روز را می‌توان با رابطه زیر بدست آورد [۵۳]:

$$h_{daylight} = \frac{24}{\pi} \cos^{-1}(-\tan \psi \tan \delta) \quad (27)$$

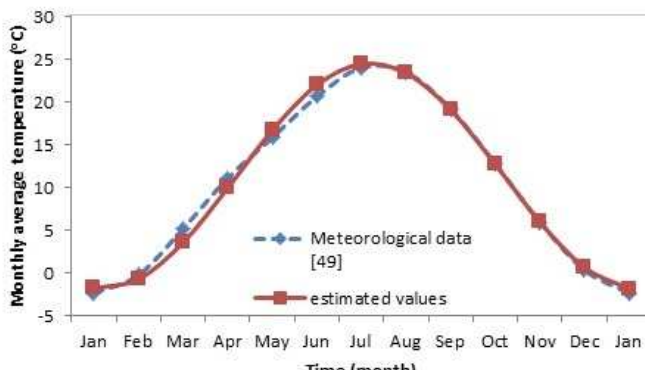
مجموع دو رابطه فوق ساعت غروب خورشید را معلوم می‌کند. به ازای هر شبانه روز ابتدا محاسبه می‌شود که گام زمانی در کدام محدوده قرار دارد و در صورت روزبودن اقدام به محاسبه موقعیت زاویه‌ای خورشید در آسمان می‌شود. جرم هوا محاسبه شده و شدت تابش بر سطح استخرا و سپس در درون آن با لحاظ اثر سایه‌ها بدست می‌آید. گام زمانی در این پژوهش پنج دقیقه در نظر گرفته می‌شود.

#### ۷-۴- مدل‌سازی دمای محیط

معمولًا برای شبیه‌سازی دمای محیط از متوسط ماهانه دمای محیط در محل استفاده می‌کنند. متوسط دمای ماهانه تاثیرات فصلی را پوشش می‌دهد، ولی در مورد تغییرات روزانه و همچنین نرخ تغییرات متوسط دما در بازه یک ماه اطلاعاتی ارائه نمی‌دهد. در تحقیق حاضر، به جهت هر چه نزدیکتر شدن مدل‌سازی عددی استخرا خورشیدی به شرایط واقعی و حذف فرضیات کلی، مدل ریاضی برای تغییرات ماهانه، روزانه و ساعتی دمای محیط استفاده می‌شود. واضح است که دمای محیط تابع عوامل پیچیده جوی و محیطی است و استفاده از تابعی که دقیقاً رفتار طبیعت را پیش‌بینی کند ممکن نیست ولی با استفاده از داده‌های آماری دما در سال‌های گذشته و متوسط تغییرات دما در یک شبانه روز می‌توان تابعی به شکل زیر برای تخمین دمای محیط بکار برد [۵۵].

$$T_{amb.} = T_1 + T_2 \sin \left[ \frac{2\pi}{365} (n + n_0) \right] + T_3 \sin \left[ \frac{2\pi}{24} (h + h_0) \right] \quad (28)$$

در این رابطه  $T_1$  متوسط سالانه دمای محل،  $T_2$  دامنه تغییرات



شکل ۱۰. تغییرات متوسط دمای ماهانه شهر ارومیه بر اساس داده‌های اندازه‌گیری شده و نتایج تابع تخمین دمای محیط

Fig. 10. Average monthly temperature changes in Urmia city based on measured data and results of ambient temperature estimation function

ادامه دارد. مقدار تلفات حاصل از رسانش از کف و دیوارها و بدن آب استخر به دلیل افت دما در شب افزایش یافته و ذخیره حرارت صورت گرفته در طول روز تا حدی از دست می‌رود. عایق‌پوش کردن مناسب استخر می‌تواند مقدار این تلفات را به صورت جدی کاهش دهد. اتفاقات حرارتی حاصل از تابش گرمایی از استخر به دلیل اختلاف دمای محدود استخر با محیط معمولاً در نظر گرفته نمی‌شوند. به علاوه طول موج تابش حرارتی از لایه زیرین و میانی به دلیل دمای نسبتاً پایین استخر در طول موج‌های بلند اتفاق می‌افتد که آب نسبت به جذب این امواج به صورت تیره عمل می‌کند و تابش‌ها عملاً امکان خروج از استخر را ندارند.

برای مدل‌سازی عددی استخر به صورت گذرا برای دورهای فصلی و سالانه لازم است تا ساعات طلوع و غروب خورشید و تابش و عدم تابش خورشیدی و همچنین مختصات خورشید در آسمان در هر لحظه با روابط ریاضی بیان شوند. حرکات اجرام آسمانی بویژه خورشید به صورت قانونمند بر اساس موقعیت مورد نظر روی کره زمین و زمان محلی بیان شده‌اند. بر این اساس زاویه فراز خورشید با استفاده از رابطه زیر محاسبه می‌شود [۵۳، ۵۲].

$$\cos z_i = \sin \psi \sin \delta + \cos \psi \cos \delta \cos \omega \quad (23)$$

در این رابطه  $\psi$  عرض جغرافیایی محل و  $\delta$  زاویه میل<sup>۱</sup> خورشید است.  $\omega$  نیز زاویه ساعتی<sup>۲</sup> نام دارد و بر اساس ساعت محلی و از رابطه زیر تعیین می‌شود.

$$\omega = \frac{2\pi}{24}(h-12) \quad (24)$$

مقدار زاویه ساعتی برای ساعت دوازده محلی صفر و قبل از آن منفی و بعد از آن مثبت است. زاویه میل خورشید بر اساس کج‌بودن محور چرخش زمین نسبت به مدار آن حول خورشید بوجود می‌آید و مقدار آن از رابطه زیر قابل محاسبه است [۵۴]:

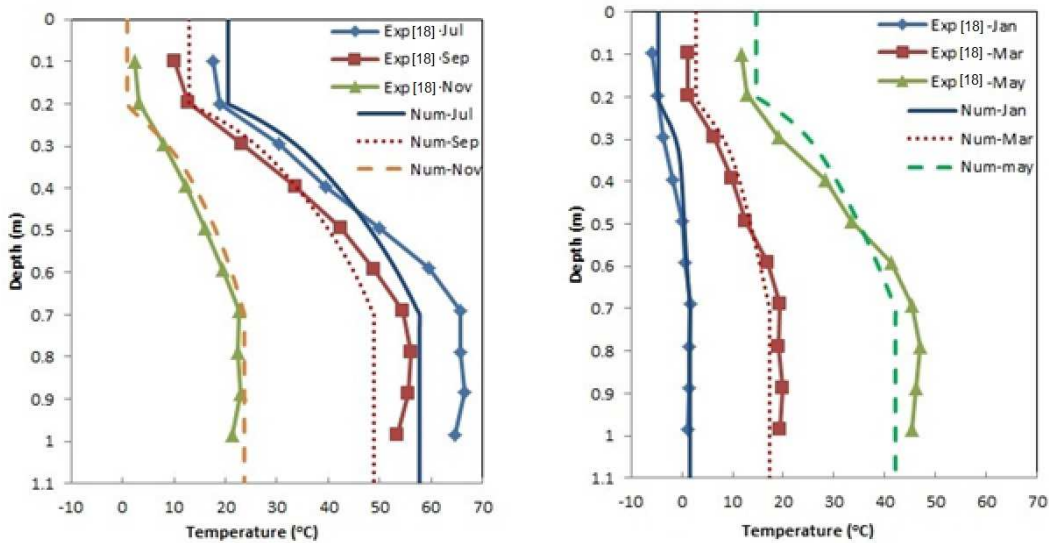
$$\delta = 23.45 \sin \left[ \frac{2\pi}{365} (284+n) \right] \quad (25)$$

در این رابطه  $n$  شماره روز در سال میلادی است و حاصل عبارت بر حسب درجه است. در مدل عددی بخش روز از ساعت طلوع خورشید آغاز و تا ساعت غروب ادامه می‌یابد. پدیده‌های فلق و شفق در مدل عددی صرف نظر شده است. ساعت طلوع با استفاده از رابطه زیر بدست می‌آید [۵۳].

$$h_{sunrise} = 6 + \frac{12}{\pi} \sin^{-1}(-\tan \psi \tan \delta) \quad (26)$$

1 -Declination angle

2 -Hour angle



شکل ۱۱. مقایسه نتایج متوسط ماهیانه دما حاصل از روش عددی و آزمون تجربی [۱۸] در استخر خورشیدی استوانه شکل برای ماههای مختلف

Fig. 11: Comparison of monthly average temperature results from numerical method and experimental data [18] in cylindrical solar pool for different months

یک شبانه روز دمای محیط حدوداً ۸ درجه نوسان دارد. با قراردادن مقدار  $n_0$  برابر ۲۶۴ و  $\dot{h}_0$  برابر ۳ تابع دمای محیط حداکثر تطابق را بر دادهای اندازه‌گیری شده پیدا می‌کند. بدین منظور از روش حداقل مربعات استفاده شده است. حداکثر درصد خطأ نسبت به بیشینه متوسط دمای ماهانه برابر ۶/۷۵ درصد برای ماه مارس بوده است.

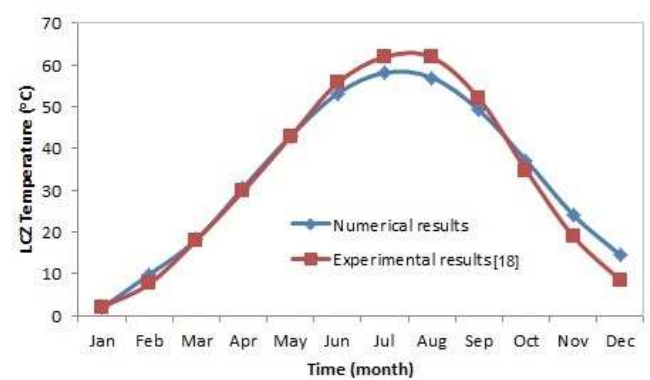
##### ۵- تابعیت خواص سیال بر حسب دما و غلظت

فرض دیگری که در شبیه‌سازی استخراهای خورشیدی بویژه تحلیل‌های یک بعدی انجام می‌شود فرض ثابت‌بودن خواص سیال است. مشخصاً در تحلیل‌های دو یا سه بعدی به جهت لزوم شبیه‌سازی جریانات هم‌رفتی ناشی از توزیع دما و غلظت، نمی‌توان خواصی مانند چگالی را ثابت فرض نمود. ولی در تحلیل‌های عمدتاً یک‌بعدی جهت سادگی خواص ثابت فرض می‌شوند. خواصی مانند چگالی و ظرفیت گرمایی ویژه مستقیماً بر روی ظرفیت گرمایی کل استخراج موثر هستند و لحاظ‌نمودن تغییرات آنها با دما و غلظت نمک می‌تواند نتایج مدل‌سازی عددی را با درصدی خطأ مواجه نماید. روابط زیر مشخصاً تابعیت سه متغیر ضریب هدایت حرارتی، چگالی و ظرفیت گرمایی ویژه را برای محلول آب و نمک کلرید سدیم نشان می‌دهد [۵۶، ۵۷]. در این روابط دما بر حسب کلوین و غلظت بر حسب  $Kg/m^3$  می‌باشد و نتایج حاصل نیز بر حسب واحدهای  $SI$  بدست می‌آید.

$$k = 0.5553 - 0.0000813C + 0.0008(T-20) \quad (29)$$

$$\rho = 998 + 0.65C - 0.4(T-20) \quad (30)$$

$$c_p = 4180 - 4.396C + 0.0048C^2 \quad (31)$$



شکل ۱۲. تغییرات متوسط دمای ماهانه لایه جابجایی زیرین استخر با مقطع دایره حاصل از تحلیل عددی و بدست آمده از آزمون تجربی [۱۸]

Fig. 12. Average monthly temperature changes of the bottom convection layer of the pool with a circular cross section obtained from numerical analysis and experimental data [18]

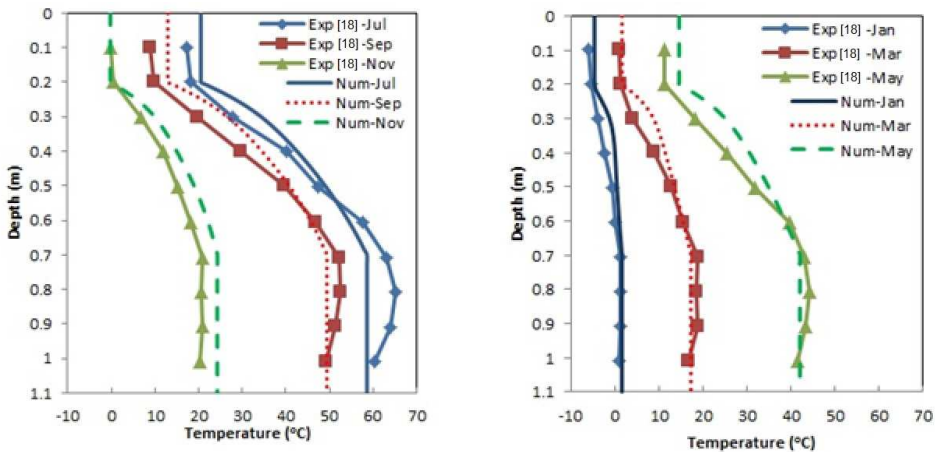
متوسط دمای ماهانه و  $T_3$  دامنه تغییرات دما در یک شبانه روز به طور متوسط است. همچنین  $n$  شماره روز در سال میلادی و  $h$  ساعت محلی است. مقدار  $n_0$  و  $\dot{h}_0$  طوری تعیین می‌شوند که بهترین تطابق بین تابع و داده‌های ثبت شده دمایی بوجود آید.

برای نمونه دمای متوسط سالانه شهر ارومیه بر اساس اطلاعات ثبت شده از سال ۱۹۵۱ تا ۲۰۱۷ میلادی، ۱۱,۳ درجه سانتی گراد است [۵۰]. متوسط دمای ماهانه ثبت شده و تخمین‌زده شده توسط رابطه درشکل ۱۰ آورده شده است. دامنه تغییرات متوسط دمای ماهانه برابر ۱۳,۲ درجه سانتی گراد است. همچنین به طور متوسط در

## جدول ۴. دمای متوسط ماهانه لایه جابجایی زیرین برای استخر استوانه شکل

Table 4. Average monthly temperature of the bottom convection layer for the cylindrical pool

ماههای میلادی	اندازه‌گیری تجربی [۱۸] (°C)	نتایج تحلیل عددی (°C)	درصد خطای نسبی
ژانویه	۲۰	۱.۸	-۱۰
فوریه	۷.۶	۹.۸	+۲۸/۹۴
مارس	۱۸.۱	۱۸.۱	.
آوریل	۲۹.۹	۳۰.۷	+۲/۶۷
مای	۴۲.۸	۴۳.۰	+۰/۴۶
ژون	۵۵.۷	۵۳.۲	-۴/۴۹
ژولای	۶۱.۹	۵۷.۸	-۶/۶۲
آگوست	۶۱.۸	۵۷.۰	-۷/۷۷
سپتامبر	۵۱.۹	۴۹.۲	-۵/۲۰
اکتبر	۳۴.۸	۳۷.۱	+۶/۶۰
نوامبر	۱۹.۰	۲۴.۱	+۲۶/۸۴
دسامبر	۸.۴	۱۴.۴	+۷۱/۴۳



شکل ۱۳. مقایسه نتایج متوسط ماهیانه دما حاصل از روش عددی و آزمون تجربی [۱۸] در استخر خورشیدی با مقطع مربع برای ماههای مختلف

Fig. 13. Comparison of average monthly temperature results from numerical method and experimental data [18] in solar pool with square cross section for different months

نتایج مشابه برای جهت‌گیری جغرافیایی استخر در مطالعه‌ای دیگر نیز گزارش شده است [۱۷]. این بحث در مورد استخر استوانه شکل به دلیل تقارن موضوعیت ندارد. در نهایت پروفیل دمایی در لایه‌های مختلف استخر برای بازه‌های زمانی مشخص بدست آمدند. پروفیل دمایی حاصل از تحلیل عددی در زمان‌های مشابه برای استخر با مقطع دایره در شکل ۱۱ نشان داده شده است. نتایج بدست آمده از اندازه‌گیری‌های تجربی نیز در کنار نتایج عددی نشان داده شده است که نشان می‌دهد تطابق نتایج عددی با تجربی اگرچه دارای شباهت است ولی در برخی از ماهها مانند مارس و نوامبر دارای خطایی کمتر و در برخی ماهها خطای بیشتری در دمای لایه زیرین دارد. عمدۀ تفاوت بین نتایج در دمای لایه زیرین است. دمای متوسط ماهانه لایه جابجایی زیرین نیز در نتایج گزارش شده تجربی وجود دارد. مقایسه بین نتایج عددی و تجربی دمای متوسط لایه زیرین در شکل

۶- بحث و بررسی نتایج  
با اعمال شرایط مطرح شده بندهای پیشین در مدل‌سازی عددی استخر خورشیدی که منطبق بر شرایط آزمون تجربی است، نتایج مختلفی از تحلیل عددی قابل استحصال است ولی پیش از آن لازم است تا نتایج تحلیل عددی با استفاده از نتایج آزمون تجربی صحتسنجی شوند و مقدار تطابق نتایج آن با واقعیت مشخص گرددند. از این رو نتایج بر طبق نحوه گزارش آنها در آزمون تجربی مرجع [۱۸]، و در بازه‌های زمانی مشابه استخراج می‌شوند.

استخر ساخته شده در دانشگاه ارومیه از ابتدای سال ۲۰۱۶ راهاندازی شد و نتایج آن برای یک بازه یک ساله گزارش شدند [۱۸]. در تحقیق مذکور، جهت‌گیری استخر مکعب شکل نسبت به جهات جغرافیایی بررسی شد و در نهایت برای استحصال بهترین کارائی حرارتی، امتداد شمالی جنوبی برای قرارگیری استخر انتخاب شد.

## جدول ۵. دمای متوسط ماهانه لایه جابجایی زیرین برای استخر مکعب‌شکل

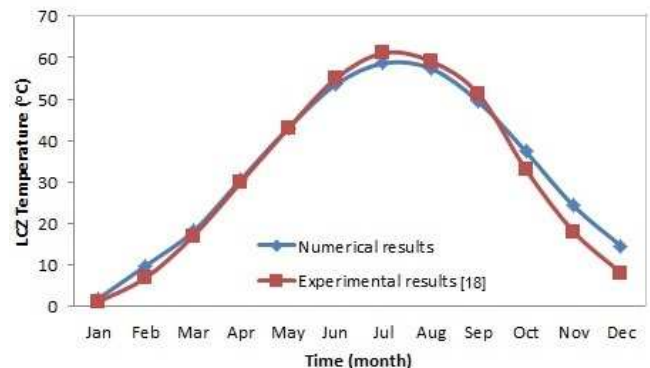
Table 5. Average monthly temperature of the bottom convection layer for the cube-shaped pool

ماههای میلادی	اندازه گیری تجربی [۱۸]	نتایج تحلیل عددی (°C)	درصد خطای نسبی
ژانویه	۱,۲	۱,۹	+۵۸/۳۳
فوریه	۷,۰	۹,۹	+۴۱/۴۳
مارس	۱۷,۰	۱۸,۱	+۶/۴۷
آوریل	۳۰,۰	۳۰,۶	+۲/۰۰
مای	۴۳,۰	۴۳,۱	+۰/۲۳
ژوئن	۵۵,۰	۵۳,۵	-۲/۷۷
ژولای	۶۱,۱	۵۸,۴	-۴/۴۲
آگوست	۵۹,۲	۵۷,۴	-۳/۰۴
سپتامبر	۵۱,۲	۴۹,۴	-۳/۵۱
اکتبر	۳۲,۰	۳۷,۳	+۱۳/۰۳
نوامبر	۱۸,۱	۲۴,۳	+۳۳/۷۰
دسامبر	۸,۱	۱۴,۶	+۸۰/۲۴

عددی با نتایج تجربی برای فوریه کمتر از نصف مقدار بدست آمده برای آگوست بوده و این در حالی است که مطلق خطای نسبی برای فوریه تقریباً چهار برابر آگوست است. این مطلب نشان می‌دهد تعیین دقت نتایج عددی منحصراً با استفاده از خطای نسبی صحیح نیست. بنابراین جهت مقایسه دو نمودار موجود در شکل ۱۲، نرم اقلیدسی<sup>۱</sup> یا نرم درجه دوم خطای دو نمودار محاسبه می‌شود که مقدار آن برابر ۱۱,۲۲ درجه سانتی گراد است. بر اساس آنچه از نمودار پروفیل دمایی (شکل ۱۱) در ماه ژولای دیده می‌شود، دمای متوسط لایه زیرین که به صورت تجربی اندازه گیری شده حدود ۶۶ درجه است، ولی مقدار تجربی گزارش شده این دما در شکل ۱۲ برابر ۶۲ درجه اعلام شده و همین تفاوت دما باعث ناسازگاری نتایج عددی برای پروفیل دمایی در ماه ژولای با نتایج تجربی شده است.

مشابه نمودارهای فوق برای استخر خورشیدی با مقطع مربع نیز در شکل ۱۳، جدول ۵ و شکل ۱۴ ارائه شده است. پروفیل‌های دمایی در راستای عمق استخر حاصل از تحلیل عددی تطابق نسبتاً قابل قبولی با نتایج گزارش شده تجربی نشان می‌دهد. همچینی حداکثر تفاوت دمای بدست آمده از حل عددی و نتایج تجربی برای لایه جابجایی زیرین برابر ۶,۵ درجه سانتی گراد و در ماه دسامبر بدست آمده است.

نرم اقلیدسی خطای دو نمودار موجود در نمودار شکل ۱۴ برابر با ۱۱/۱۶ درجه سانتی گراد بدست آمده که تقریباً با خطای بدست آمده جهت استخر با مقطع دایره یکسان است. از نتایج بدست آمده تجربی نتیجه می‌شود که حداکثر دمای قابل استحصال در لایه جابجایی زیرین برای استخر با مقطع دایره اندکی بالاتر از استخر با مقطع مربع بوده است [۱۷, ۱۸]. هر دو روش نشان می‌دهند که حداکثر دما در



شکل ۱۴. تغییرات متوسط دمای ماهانه لایه جابجایی زیرین استخر با مقطع مربع حاصل از تحلیل عددی و بدست آمده از آزمون تجربی [۱۸]

Fig. 14. Average monthly temperature changes of the bottom convection layer of the pool with a square cross section obtained from numerical analysis and experimental data [18]

۱۲ نشان داده شده است. همانطور که از شکل ۱۲ دیده می‌شود تا ماه ژون نمودارها تقریباً بر یکدیگر منطبق هستند. همچنین نتایج تجربی و عددی متوسط دمای ماهانه لایه جابجایی زیرین برای استخر استوانه در جدول ۴ ارائه شده است. حداکثر اختلاف بین نتایج عددی و تجربی در مورد دمای لایه زیرین در ماه دسامبر اتفاق افتاده و برابر ۶,۱ درجه سانتی گراد است. خطاهای نسبی نیز در این جدول نشان داده شده است. بیشترین خطاهای نسبی مربوط به ماههای سرد زمستان است. افزایش خطای نسبی در ماههای سرد عمدها به دلیل شیوه تعریف این نوع خطا ایجاد می‌شود. به عنوان نمونه ماه نسبتاً گرم آگوست با ماه نسبتاً سرد فوریه مقایسه می‌شود. جدول ۴ نشان می‌دهد که اختلاف دمای بین نتیجه بدست آمده از تحلیل

۱ -Euclidian norm

## ۸- اختصارات

$A$	مساحت سطح مقطع استخر
$a$	نیمه طول سایه در استخر با مقطع دایره
$A_i$	ضریب تابع استهلاک تابش
$A_{LCZ-walls}$	مساحت دیوارهای لایه زیرین
$CCF$	غلظت نمک در آب
$C_i$	فاکتور پوشش ابر
$C_p$	ضریب توان در تابع استهلاک تابش
$CCF_{est}$	ظرفیت گرمایی
$h$	فاکتور پوشش ابر تخمینی
$h_{sunrise}$	ساعت محلی
$I$	طول مدت روز
$I_0$	ساعت محلی طلوع خورشید
$I_{cs}$	شدت تابش در عمق استخر
$I_{in}$	ثابت شدت تابش خورشیدی
$I_{normal}$	شدت تابش در روز آفتابی
$k$	شدت تابش در زیر سطح آب
$k_{insul.}$	شدت تابش رسیده بر سطح عمود بر تابش
$L$	ضریب انتقال حرارت رسانش محلول آب و نمک
$l$	ضریب انتقال حرارت رسانش عایق حرارتی
$l_{LCZ}$	طول استخر با مقطع مستطیل
$m_{no}$	طول سایه در استخر با مقطع مستطیل
$n_{oc}$	ضخامت لایه جابجایی زیرین
$n_{pc}$	شماره ماه در سال میلادی
$n_r$	شماره روز در سال میلادی
$Q_{rad}$	تعداد روز آفتابی در هر ماه
$Q_{side}$	تعداد روز کاملاً ابری در هر ماه
$Q_{bottom}$	تعداد روز نیمه‌ابری در هر ماه
$Q_{LCZ \text{ to } NCZ}$	ضریب شکست نور در آب
$Q_{ext}$	انرژی تابشی رسیده به لایه زیرین
$R$	انرژی حرارتی تلف شده از دیوارها
$R_r$	انرژی حرارتی تلف شده از کف
$S_{shadow}$	انرژی حرارتی منتقل شده از لایه زیرین به لایه میانی
$S_{sunny}$	انرژی برداشت شده از استخر
$T$	شعاع استخر با مقطع دایره
$t$	کسر تابش منعکس شده از سطح آب
	سطح سایه در استخر برای یک عمق مشخص
	سطح آفتابی در استخر برای یک عمق مشخص
	دما
	زمان

لایه زیرین در ماه ژولای و حداقل آن در ماه دسامبر اتفاق می‌افتد. همچنین عدم قطعیت اندازه‌گیری دما در آزمون‌های تجربی درجه سانتی گراد گزارش شده است [۱۷].

## ۷- جمع‌بندی و نتیجه‌گیری

با فرض غلبه تغییرات دمایی در جهت عمق نسبت به دیگر جهات، با استفاده یک کد یک بعدی، نسبت به شبیه‌سازی عملکرد حرارتی استخر خورشیدی اقدام شد. دمای لایه جابجایی سطحی و لایه جابجایی زیرین به صورت یکنواخت در نظر گرفته شد و با تقسیم لایه غیرهمرفتی میانی به زیرلایه‌های متعدد معادله بقاع ارزشی برای زیرلایه‌ها و لایه جابجایی زیرین استخراج شده و در یک دستگاه معادلات حل شدند و با تکرار حل در گام‌های زمانی پیشرونده تحلیل گذرا انجام شد. عوامل محیطی مانند دمای محیط، شدت تابش، مساحت سایه دیوارها، و خواص سیال، بر خلاف فرض‌های معمول بکاررفته در شبیه‌سازی استخر، به صورت متغیر در نظر گرفته شدند. شدت تابش معمولاً به صورت متوسط ماهانه که توسط ایستگاه‌های هواشناسی و تابش سنجدی ارائه می‌شوند مورد استفاده قرار می‌گیرند. با استفاده از روش بکاررفته در این مقاله با استفاده از کاربرد مفهوم جرم‌ها و محاسبه مقدار تقریبی تابش آفتابی و تصحیح آن با استفاده از فاکتور پوشش ابر، مقدار شدت تابش در هر لحظه از روز و در هر روز از سال محاسبه و در مدل عددی بکار رفت. رابطه‌ای برای محاسبه فاکتور پوشش ابر ارائه شد که مقدار تابش را با دقت قابل قبولی ارائه می‌نماید. تابش تخمین‌زده شده با دو نمونه شدت تابش اندازه‌گیری شده تجربی گزارش شده در مراجع مقایسه شد. در نهایت نتایج مدل سازی عددی برای استخرهای خورشیدی نمونه استخراج شد و با مقادیر گزارش شده تجربی مقایسه شد که تطابق قابل قبولی بین آنها دیده می‌شود. مقدار حدکثر اختلاف بین نتایج تجربی و نتایج عددی ۱۱/۲۲ درجه برای استخر با مقطع مربع بوده است. مقدار متوسط دمای لایه زیرین این دو استخر حدود ۶۶ درجه سانتی گراد گزارش شده است که با نتایج تجربی تطابق خوبی دارد.

98-107.

- [14] I. Bozkurt, M. Karakilcik, The effect of sunny area ratios on the thermal performance of solar ponds, *Energy Conversion and Management*, 91 (2015) 323-332.
- [15] M.R. Jaefarzadeh, Thermal behavior of a small salinity-gradient solar pond with wall shading effect, *Solar Energy*, 77(3) (2004) 281-290.
- [16] M. Aramesh, A. Kasaeian, F. Pourfayaz, D. Wen, Energy analysis and shadow modeling of a rectangular type salt gradient solar pond, *Solar Energy*, 146 (2017) 161-171.
- [17] P.P.T.A. SOLAR, S. ONE-DIMENSIONAL, Dehghan A.A., Amini J., in: Fourth Int. Conf. on Energy Research & Development, Kuwait, 2008.
- [18] M. Khalilian, Experimental and numerical investigations of the thermal behavior of small solar ponds with wall shading effect, *Solar Energy*, 159 (2018) 55-65.
- [19] R. Brinsfield, M. Yaramanoglu, F. Wheaton, Ground level solar radiation prediction model including cloud cover effects, *Solar energy*, 33(6) (1984) 493-499.
- [20] A.A. Dehghan, A. Movahedi, M. Mazidi, Experimental investigation of energy and exergy performance of square and circular solar ponds, *Solar energy*, 97 (2013) 273-284.
- [21] I. Bozkurt, M. Karakilcik, Exergy analysis of a solar pond integrated with solar collector, *Solar Energy*, 112 (2015) 282-289.
- [22] M. Khalilian, Exergetic performance analysis of a salinity gradient solar pond, *Solar Energy*, 157 (2017) 895-904.
- [23] K. Ranjan, S. Kaushik, Exergy analysis of the active solar distillation systems integrated with solar ponds, *Clean Technologies and Environmental Policy*, 16(5) (2014) 791-805.
- [24] M. Mazidi, M.H. Shojaeefard, M.S. Mazidi, H. Shojaeefard, Two-dimensional modeling of a salt-gradient solar pond with wall shading effect and thermo-physical properties dependent on temperature and concentration, *Journal of Thermal Science*, 20(4) (2011) 362-370.
- [25] A.A. Sabziparvar, H. Shetaee, Estimation of global solar radiation in arid and semi-arid climates of East and West Iran, *Energy*, 32(5) (2007) 649-655.
- [26] J. Almorox, C. Hontoria, Global solar radiation estimation using sunshine duration in Spain, *Energy Conversion and Management*, 45(9-10) (2004) 1529-1535.
- [27] F. Kasten, A.T. Young, Revised optical air mass tables and approximation formula, *Applied optics*, 28(22) (1989) 4735-4738.
- [28] A.T. Young, Air mass and refraction, *Applied optics*, 33(6) (1994) 1108-1110.
- [29] T. Muneer, M. Gul, Evaluation of sunshine and cloud cover based models for generating solar radiation data, *Energy Conversion and Management*, 41(5) (2000) 461-482.
- [30] S. Owczarek, Vector model for calculation of solar

	$T_{amb}$	دماي محيط
$T_{LCZ}$	دماي لابه جابجايی زيرين	
$W$	عرض استخر با مقطع مستطيل	
$z$	عمق	
$z_t$	زاویه فراز خورشید	
$\alpha$	زاویه امتداد سایه با دیوار در استخر مستطيلي	
$\delta$	زاویه میل خورشید	
$\rho$	چگالي محلول آب و نمک	
$\theta_i$	زاویه برخورد تابش به سطح آب	
$\theta_r$	زاویه شکست تابش در آب	
$\theta$	كسر تابش رسیده به عمق	
$\psi$	عرض جغرافياي محل استخر	
$\tau$	درصد تابش عبوری از عمق مشخص	
$\omega$	زاویه ساعت	
$\xi$	درصد تابش رسیده به ناحие سایه در استخر	

## ۹- مراجع

- [1] K. Sukhatme, S.P. Sukhatme, *Solar energy: principles of thermal collection and storage*, Tata McGraw-Hill Education, 1996.
- [2] A. Rabl, C.E. Nielsen, Solar ponds for space heating, *Solar Energy*, 17(1) (1975) 1-12.
- [3] J. Andrews, A. Akbarzadeh, Enhancing the thermal efficiency of solar ponds by extracting heat from the gradient layer, *Solar Energy*, 78(6) (2005) 704-716.
- [4] H. Tabor, Solar ponds, *Solar Energy*, 27(3) (1981) 181-194.
- [5] H. Tabor, Solar ponds as heat source for low-temperature multi-effect distillation plants, *Desalination*, 17(3) (1975) 289-302.
- [6] H. Tabor, R. Matz, A status report on a solar pond project, *Solar Energy*, 9(4) (1965) 177-182.
- [7] A. Akbarzadeh, G. Ahmadi, Computer simulation of the performance of a solar pond in the southern part of Iran, *Solar Energy*, 24(2) (1980) 143-151.
- [8] Y. Wang, A. Akbarzadeh, A parametric study on solar ponds, *Solar Energy*, 30(6) (1983) 555-562.
- [9] F. Zangrando, On the hydrodynamics of salt-gradient solar ponds, *Solar Energy*, 46(6) (1991) 323-341.
- [10] F. Zangrando, A simple method to establish salt gradient solar ponds, *Solar Energy*, 25 (1980) 467-470.
- [11] C. Angeli, E. Leonardi, A one-dimensional numerical study of the salt diffusion in a salinity-gradient solar pond, *International journal of heat and mass transfer*, 47(1) (2004) 1-10.
- [12] J.R. Hull, Computer simulation of solar pond thermal behavior, *Solar Energy*, 25(1) (1980) 33-40.
- [13] M. Karakilcik, I. Dincer, I. Bozkurt, A. Atiz, Performance assessment of a solar pond with and without shading effect, *Energy conversion and management*, 65 (2013)

- [43] E. Schoenberg, Theoretische Photometrie, in: Grundlagen der Astrophysik, Springer, 1929, pp. 1-280.
- [44] E. Laue, The measurement of solar spectral irradiance at different terrestrial elevations, Solar Energy, 13(1) (1970) 43-57.
- [45] K.Y. Kondretiyev, Radiation in the Atmospheres, Using results of Berland, Academic Press, New York, 1969.
- [46] M.A. Atwater, J.T. Ball, A surface solar radiation model for cloudy atmospheres, Monthly weather review, 109(4) (1981) 878-888.
- [47] F. Kasten, G. Czeplak, Solar and terrestrial radiation dependent on the amount and type of cloud, Solar energy, 24(2) (1980) 177-189.
- [48] M. Atwater, J. Ball, Effects of clouds on insolation models, Solar Energy, 27(1) (1981) 37-44.
- [49] F. Quinlan, SOLMET Volume 2: Hourly Solar Radiation—Surface Meteorological Observations, National Oceanic and Atmospheric Administration, Asheville, NC, (1979).
- [50] IRIMO, I.R. Iran, Meteorologiacal Organizationm, in, <https://www.irimo.ir/eng/index.php>, 2018.
- [51] J. Amini, A.A. Dehghan, The Influence of Shape and Orientation on Thermal Performance of a Salt Gradient Solar Pond, in: 16rd Annual international conference of mechanical engineering (ISME2008), Kerman, Iran., 2008. (in persian)
- [52] J.A. Duffie, W.A. Beckman, Solar engineering of thermal processes, John Willey & Sons, New York, (1980).
- [53] J.S. Hsieh, Solar energy engineering, (1986).
- [54] P. Cooper, The absorption of radiation in solar stills, Solar energy, 12(3) (1969) 333-346.
- [55] R. Kayali, S. Bozdemir, K. Kiymac, A rectangular solar pond model incorporating empirical functions for air and soil temperatures, Solar Energy, 63(6) (1998) 345-353.
- [56] D.W. Kaufmann, Sodium chloride: the production and properties of salt and brine, (1960).
- [57] J.H. Perry, Chemical engineers' handbook, in, ACS Publications, 1950.
- [43] E. Schoenberg, Theoretische Photometrie, in: Grundlagen der Astrophysik, Springer, 1929, pp. 1-280.
- [44] E. Laue, The measurement of solar spectral irradiance at different terrestrial elevations, Solar Energy, 13(1) (1970) 43-57.
- [45] K.Y. Kondretiyev, Radiation in the Atmospheres, Using results of Berland, Academic Press, New York, 1969.
- [46] M.A. Atwater, J.T. Ball, A surface solar radiation model for cloudy atmospheres, Monthly weather review, 109(4) (1981) 878-888.
- [47] F. Kasten, G. Czeplak, Solar and terrestrial radiation dependent on the amount and type of cloud, Solar energy, 24(2) (1980) 177-189.
- [48] M. Atwater, J. Ball, Effects of clouds on insolation models, Solar Energy, 27(1) (1981) 37-44.
- [49] F. Quinlan, SOLMET Volume 2: Hourly Solar Radiation—Surface Meteorological Observations, National Oceanic and Atmospheric Administration, Asheville, NC, (1979).
- [50] IRIMO, I.R. Iran, Meteorologiacal Organizationm, in, <https://www.irimo.ir/eng/index.php>, 2018.
- [51] J. Amini, A.A. Dehghan, The Influence of Shape and Orientation on Thermal Performance of a Salt Gradient Solar Pond, in: 16rd Annual international conference of mechanical engineering (ISME2008), Kerman, Iran., 2008. (in persian)
- [52] J.A. Duffie, W.A. Beckman, Solar engineering of thermal processes, John Willey & Sons, New York, (1980).
- [53] J.S. Hsieh, Solar energy engineering, (1986).
- [54] P. Cooper, The absorption of radiation in solar stills, Solar energy, 12(3) (1969) 333-346.
- [55] R. Kayali, S. Bozdemir, K. Kiymac, A rectangular solar pond model incorporating empirical functions for air and soil temperatures, Solar Energy, 63(6) (1998) 345-353.
- [56] D.W. Kaufmann, Sodium chloride: the production and properties of salt and brine, (1960).
- [57] J.H. Perry, Chemical engineers' handbook, in, ACS Publications, 1950.
- [48] J. Sabbagh, A. Sayigh, E. El-Salam, Estimation of the total solar radiation from meteorological data, Sol. Energy;(United States), 19(3) (1977).
- [49] J.E. Hay, Calculation of monthly mean solar radiation for horizontal and inclined surfaces, Solar energy, 23(4) (1979) 301-307.
- [50] H. Ögelman, A. Ecevit, E. Tasdemiroğlu, A new method for estimating solar radiation from bright sunshine data, Solar Energy, 33(6) (1984) 619-625.
- [51] J.A. Duffie, W.A. Beckman, Solar energy thermal processes, University of Wisconsin-Madison, Solar Energy Laboratory, Madison, WI, 1974.
- [52] R. Burlon, S. Bivona, C. Leone, Instantaneous hourly and daily radiation on tilted surfaces, Solar Energy, 47(2) (1991) 83-89.
- [53] W.C. Dickinson, P.N. Cheremisionoff, Solar energy technology, Handbook Part A, 498 (1980).
- [54] H. Bryant, I. Colbeck, Solar pond for London.[For space heating of houses], Sol. Energy;(United States), 19(3) (1977).
- [55] P. Würfel, U. Würfel, Physics of solar cells: from basic principles to advanced concepts, John Wiley & Sons, 2009.

برای ارجاع به این مقاله از عبارت زیر استفاده کنید:

J. Amini Foroushani, A. A. Abbasian Arani, M. Gandomkar. Numerical simulation of salt gradient solar pond by employing the solar radiation estimating function considering wall-shading effects ,Amirkabir J. Mech. Eng., 53(Special Issue 5)(2021) 3385-3400.

DOI: [10.22060/mej.2020.17286.6563](https://doi.org/10.22060/mej.2020.17286.6563)

